

## ТЕРМОЭЛЕКТРОННЫЙ ОБРАТНЫЙ ТОК В GaAs ПОВЕРХНОСТНО-БАРЬЕРНОЙ СТРУКТУРЕ

Гольдберг Ю. А., Поссе Е. А., Царенков Б. В., Шульга М. И.

Объектом изучения служили поверхностно-барьерные структуры  $\text{Ni}-n\text{-GaAs}$  [ $n=(1\div 2)\cdot 10^{15} \text{ см}^{-3}$  при 300 К], изготовленные методом химического осаждения металла на поверхность полупроводника.

Показано, что механизмом обратного тока при низких напряжениях ( $1\div 10$  В) и повышенных температурах ( $450\div 550$  К) является термоэлектронная эмиссия (ток соответствует теории Бете при учете сил изображения).

Величина постоянной Ричардсона, найденная из температурной зависимости обратного тока  $[(8.2\pm 1.0) \text{ A}/\text{см}^2 \cdot \text{град}^2]$ , совпадает с величиной, определенной из температурной зависимости прямого тока, и с величиной, теоретически ожидаемой для GaAs. Значение высоты потенциального барьера, найденное из температурной зависимости обратного тока (0.96 В при 0 К), совпадает со значениями, определенными из температурных зависимостей прямого тока и барьерной емкости.

1. Согласно теории [1, 2], главным механизмом протекания тока в слабо легированных Si и GaAs поверхностно-барьерных структурах при напряженности электрического поля  $10^4\div 10^5$  В/см должна быть термоэлектронная эмиссия.

Экспериментально доказано, что прямой ток в слабо легированных Si [3], GaP [4, 5] и GaAs [6] поверхностно-барьерных структурах действительно обусловлен термоэмиссией электронов из полупроводника в металл.

Обратный ток в таких структурах исследовался в меньшей степени из-за существенного влияния токов утечки. В работе [3] отмечалось, что обратный ток в Si поверхностно-барьерных структурах при температурах, близких к комнатной, обусловлен термоэмиссией электронов. В работе [7] было показано, что обратный ток в GaAs поверхностно-барьерных структурах при обратных напряжениях, больших некоторой величины (90 В для  $n=7.5\cdot 10^{14} \text{ см}^{-3}$ , 35 В для  $n=2\cdot 10^{15} \text{ см}^{-3}$ , 5 В для  $n=1.7\cdot 10^{16} \text{ см}^{-3}$ ), обусловлен термополевой эмиссией, однако при меньших напряжениях механизм обратного тока не исследовался.

В настоящей работе изучался механизм протекания обратного тока в поверхностно-барьерных структурах на основе слабо легированного GaAs при низких обратных напряжениях.

2. Объектами исследования были поверхностно-барьерные структуры, изготовленные химическим осаждением [8] никеля на поверхность эпитаксиального слоя  $n\text{-GaAs}$  [ $n=(1\div 2)\cdot 10^{15} \text{ см}^{-3}$ ], выращенного методом газофазной эпитаксии на подложке  $n\text{-GaAs}$  ( $n=10^{18} \text{ см}^{-3}$ ); толщина эпитаксиального слоя 10–15 мкм. Никель осаждался из раствора сульфата никеля—аммония и сульфата гидразина.

Поверхностно-барьерные структуры имели форму меза-структур с площадью барьера контакта  $S=(6\div 7)\cdot 10^{-2} \text{ см}^2$ . Напряжение пробоя структур  $\sim 100$  В.

Экспериментальные результаты, приведенные на рисунках, относятся к одной и той же структуре.

3. Согласно теории [2], в исследуемых нами структурах ток должен контролироваться термоэмиссией электронов на границе металл—полупроводник,

а не диффузионно-дрейфовым переносом в слое объемного заряда полупроводника, поскольку отношение скорости диффузионно-дрейфового переноса  $v_d$  к скорости эмиссии  $v_e$  в этих структурах существенно больше единицы. Например, при комнатной температуре для исследуемых структур подвижность электронов  $\mu = (5 \div 6) \cdot 10^3 \text{ см}^2/\text{В}\cdot\text{с}$ , напряженность электрического поля в слое объемного заряда  $E_m = 2 \cdot 10^4 \text{ В/см}$  и, следовательно,  $v_d/v_e = qN_c\mu E_m/A^*T^2 \approx 10$ , где эффективная плотность состояний  $N_c \approx 5 \cdot 10^{17} \text{ см}^{-3}$  и постоянная Ричардсона  $A^* = 8.2 \text{ А/см}^2\cdot\text{град}^2$  (эффективная масса электрона  $m_e = 0.068 m_0$ ).

Зависимость тока термоэлектронной эмиссии  $I$  от напряжения на барьере  $U$  с учетом влияния сил изображения на высоту потенциального барьера  $\varphi_B$  имеет вид [1, 2]

$$I = I_0 [\exp(qU/kT) - 1], \quad (1)$$

где

$$I_0 = A^*ST^2 \exp[-q\varphi_B(U)kT].$$

Если учесть, что истинная высота потенциального барьера  $\varphi_B(U) = \varphi_{B0} - \Delta\varphi_B(U)$ , где  $\varphi_{B0}$  — высота потенциального барьера (которая была бы, если бы не действовали силы изображения), а  $\Delta\varphi_B(U)$  — величина понижения потенциального барьера силами изображения, то предэкспоненциальный множитель можно представить в виде

$$I_0 = I_s \exp[q\Delta\varphi_B(U)/kT], \quad (2)$$

где ток насыщения

$$I_s = A^*ST^2 \exp(-q\varphi_{B0}/kT). \quad (3)$$

Поскольку

$$\Delta\varphi_B(U) = \left[ \frac{8\pi q^3 (N_d - N_a)}{\epsilon^3} \left( U_d - U - \frac{kT}{q} \right) \right]^{1/4}, \quad (4)$$

где  $\epsilon$  — статическая диэлектрическая проницаемость полупроводника,  $N_d - N_a$  — концентрация нескомпенсированных доноров,  $U_d$  — диффузионная разность потенциалов, зависимость предэкспоненциального множителя от напряжения принимает вид

$$I_0 = A^*ST^2 \exp(-q\varphi_{B0}/kT) \exp\left\{\frac{q}{kT} \left[ \frac{8\pi q^3 (N_d - N_a)}{\epsilon^3} \left( U_d - U - \frac{kT}{q} \right) \right]^{1/4}\right\}. \quad (5)$$

4. Для определения параметров энергетической диаграммы структур (рис. 1) измерялись характеристики дифференциальная емкость ( $C$ ) — напряжение ( $U$ ); они были линейными в координатах  $C^{-2} - U$  в интервале температур 300—400 К (при больших температурах истинную барьерную емкость надежно измерять мостовым методом невозможно из-за сильного влияния остаточного сопротивления структуры). Из этих характеристик были определены концентрация нескомпенсированных доноров  $N_d - N_a = (1 \div 2) \cdot 10^{15} \text{ см}^{-3}$  и значения диффузионной разности потенциалов  $U_d$  при разных  $T$  (рис. 2). Высота потенциального барьера без учета его понижения силами изображения, определенная из соотношения  $\varphi_{B0} = U_d + \chi/q$ , имеет температурный коэффициент  $\alpha = 2.4 \cdot 10^{-4} \text{ эВ/град}$  и экстраполированное к  $T=0$  значение  $\varphi_{B0}(0 \text{ К}) = 0.96 \text{ эВ}$ .

5. Для экспериментального изучения применимости теории термоэлектронной эмиссии к обратному току предварительно изучался прямой ток  $I_f$ , чтобы удостовериться, что он обусловлен термоэлектронной эмиссией. Измеренная зависимость  $I_f - U$  имела четко выраженный экспоненциальный участок в интервале  $T = 300 \div 420 \text{ К}$ :  $I_f = \exp(qU/\beta kT)$ , где  $\beta = 1.01 \div 1.02$  (при  $T > 420 \text{ К}$  экспоненциальный участок не проявлялся из-за того, что существенная часть напряжения падала на остаточном сопротивлении структуры).

Согласно теории [1], прямой ток поверхностью-барьерной структуры при  $U > kT/q$   $I_f = I_s \exp[q\Delta\varphi_B(U)/kT] \exp(qU/kT)$ . Для определения  $I_s$  при различных температурах  $I_f - U$ -характеристики перестраивались в координатах  $I_f - [U + \Delta\varphi_B(U)]$  [величины  $\Delta\varphi_B(U)$  определялись для каждого зна-

чения  $U$  по формуле (4)], значения  $I_s$  находились путем экстраполяции экспоненциального участка этих зависимостей к  $U + \Delta\varphi_b(U) = 0$ . Затем строился график Ричардсона  $I_s/S T^2 = f(1/T)$  (рис. 3), из которого были определены  $A^* = (8.2 \pm 1.0) \text{ А/см}^2 \cdot \text{град}^2$ , что совпало с ожидаемой из теории термоэлектронной эмиссии величиной  $A^* = 120 m_e/m_0 = 8.2 \text{ А/см}^2 \cdot \text{град}^2$ , и  $\varphi_{b0}(0 \text{ К}) = 0.96 \text{ В}$ , что совпало со значением, полученным из  $C-U$ -характеристик.

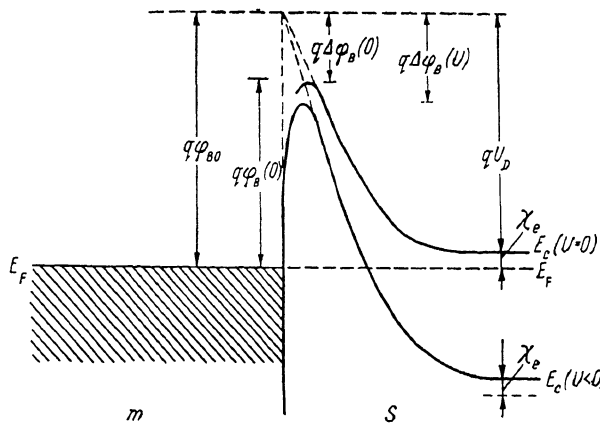


Рис. 1. Энергетическая диаграмма структуры металл—полупроводник в термическом равновесии и при обратном смещении.

Таким образом, прямой ток в данных структурах соответствует теории термоэлектронной эмиссии.

6. Зависимость обратного тока от напряжения измерялась в интервале температур 300–600 К. Оказалось, что  $I_r$ — $U$ -характеристики при  $T = 450 \div 550$  К имеют в интервале  $U = 1 \div 10$  В близкий к насыщению участок (рис. 4).

Результаты измерений обратного тока в других температурных интервалах таковы:

- при  $T < 350$  К ток очень мал;
- при  $T = 350 \div 400$  К ток существенно зависит от напряжения, что, вероятно, связано с токами утечки;
- при  $T > 550$  К проявляется избыточный объемный ток, связанный с началом необратимого перехода барьера контакта в омический.

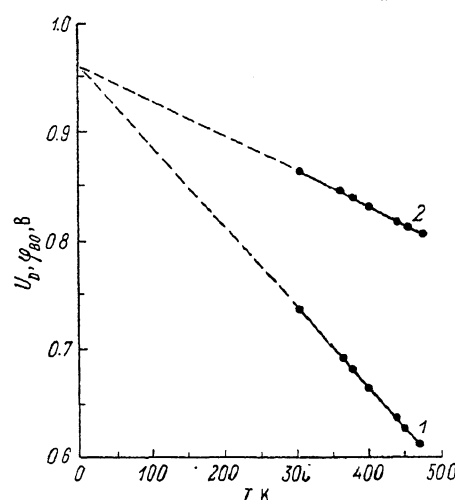


Рис. 2. Зависимости диффузионной разности потенциалов  $U_D$  (1) и высоты барьера  $\varphi_{B0}$  (2) от температуры  $T$  для Ni—GaAs поверхностью-барьерной структуры.

7. Анализ близкого к насыщению участка обратного тока ( $T = 450 \div 550$  К,  $U = 1 \div 10$  В) был проведен следующим образом.

Вначале устанавливалось функциональное соответствие обратной ветви  $I_r$ — $U$ -характеристики теории термоэлектронной эмиссии. Согласно этой теории, обратный ток поверхностью-барьерных структур при  $|U| > kT/q$   $I_r = I_0$  [см. формулу (5)], т. е. зависимость  $I_r/S T^2$  от  $(U_D - U - kT/q)^{1/2}$  в полулогарифмическом масштабе должна быть линейной, что и подтверждается экспериментально (рис. 5).

Затем для различных температур определялись значения  $I_s$ , равные величинам обратного тока, которые были бы, если бы не действовали силы изображения. Значения  $I_s$  были найдены двумя способами:

- экстраполяцией зависимости  $I_s/ST^2$  от  $(U_p - U - kT/q)^{1/4}$  (рис. 5) к значению  $(U_p - U - kT/q)^{1/4} = 0$ ;
- делением значений обратного тока при разных напряжениях на  $\exp [q\Delta\phi_B(U)/kT]$  (рис. 4, сплошные линии).

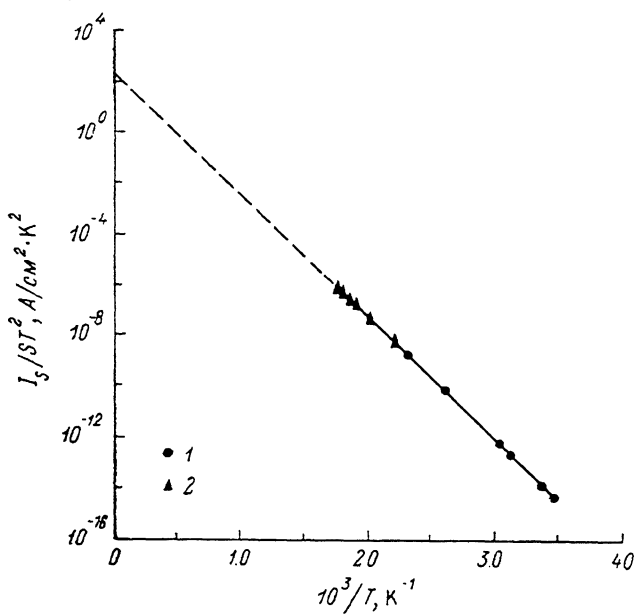


Рис. 3. График Ричардсона для Ni—GaAs поверхностью-барьерной структуры.  
1 — значения, полученные из прямого тока, 2 — значения, полученные из обратного тока.

Оба способа дали одинаковые значения  $I_s$ , которые были использованы при построении графика Ричардсона (рис. 3) для обратного тока. Зависимость  $I_s/ST^2$  от  $1/T$  для обратного тока оказалась линейным продолжением графика

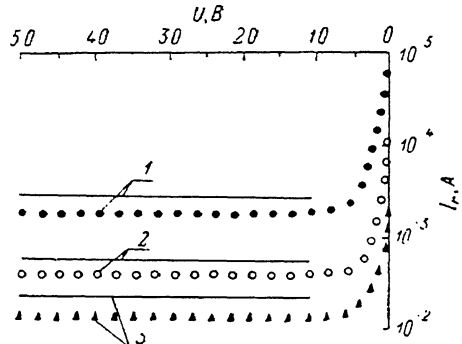


Рис. 4. Зависимость обратного тока от напряжения для Ni—GaAs поверхностью-барьерной структуры при разных температурах  $T$ .  
Т, К: 1 — 493, 2 — 533, 3 — 553. Точки — эксперимент, линии — расчет без учета сил изображений.

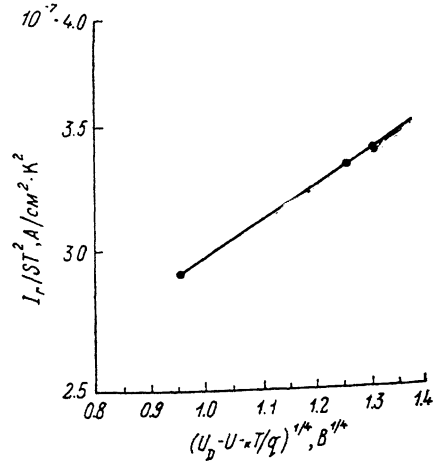


Рис. 5. Зависимость обратного тока от напряжения для Ni—GaAs поверхностью-барьерной структуры в координатах, иллюстрирующих действие сил изображения.  
 $T=553$  К.

Ричардсона для прямого тока. Отсюда следует, что значения  $A^* = (8.2 \pm 1.0) \text{ A}/\text{cm}^2 \cdot \text{град}^2$  и  $\varphi_{B0}(0 \text{ К}) = 0.96 \text{ В}$ , определяемые из графика Ричардсона, одни и те же для обратного и прямого токов.

Итак, в настоящей работе установлено, что обратный ток в слабо легированных GaAs поверхностью-барьерных структурах при низких напряжениях обус-

ловлен термоэмиссией электронов вплоть до температур, при которых начи-  
нается необратимый переход барьерного контакта к омическому.

Авторы благодарят Е. В. Новикову за помощь в работе.

### Список литературы

- [1] Bethe H. A. // MIT Radiat. Lab. Rep. 1942. № 43-12.
- [2] Crowell C. R., Sze S. M. // Sol. St. Electron. 1965. V. 9. N 11. P. 1035—1048.
- [3] Arizumi T., Hiroze M. // Japan. J. Appl. Phys. 1969. V. 8. N 6. P. 749—754.
- [4] Goldberg Yu. A., Posse E. A., Tsarenkov B. V. // Electron. Lett. 1971. V. 2. N 20. P. 601—603.
- [5] Царенков Б. В., Гольдберг Ю. А., Поссе Е. А. // ФТП. 1973. Т. 7. В. 12. С. 2326—2334.
- [6] Гольдберг Ю. А., Поссе Е. А., Царенков Б. В. // ФТП. 1975. Т. 9. В. 3. С. 513—518.
- [7] Horvath Zs. I. // J. Appl. Phys. 1986. V. 64. N 12. P. 6780—6784.
- [8] Гольдберг Ю. А., Царенков Б. В. // А. с. 392845. БИ. 1975. № 35.

Физико-технический институт  
им. А. Ф. Иоффе АН СССР  
Ленинград

Получена 23.10.1990  
Принята к печати 31.10.1990